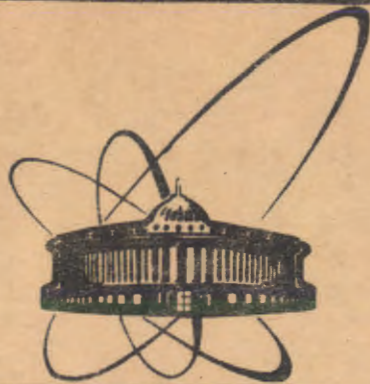


90-500



сообщения  
объединенного  
института  
ядерных  
исследований  
дубна

1005/91

P4-90-500

До Нгок Туй, И.А.Ломаченков, В.И.Фурман

О ПРОБЛЕМАХ ПАРАМЕТРИЗАЦИИ  
ПЛОТНОСТИ УРОВНЕЙ  
ПРИ РАСЧЕТАХ ПОЛНЫХ РАДИАЦИОННЫХ ШИРИН

1990

## 1. ПОСТАНОВКА ЗАДАЧИ

Полные радиационные ширины нейтронных резонансов относятся к числу главных характеристик высоковозбужденных состояний ядер, поэтому их систематике и анализу уделяется много внимания. Существующие систематики средних радиационных ширин (см., например, <sup>1-5/</sup>) позволяют уточнить их зависимость от массового числа и энергии возбуждения ядра, что является важным для интерполяции и предсказания данных в широкой области масс ядер.

В общем случае выражение для амплитуды парциального радиационного перехода, связывающего высоковозбужденное состояние  $\lambda$  и более низколежащее состояние  $f$ , можно записать в виде <sup>6/</sup>

$$(\Gamma_y^{\lambda f})^{1/2} = (\Gamma_y^{\lambda f} \text{ (s.p.)})^{1/2} + (\Gamma_y^{\lambda f} \text{ (comp.)})^{1/2}, \quad (1)$$

где первый член соответствует вкладу в амплитуду  $(\Gamma_y^{\lambda f})^{1/2}$  односторонней компоненты волновой функции состояния  $\lambda$ , а второй член определяется вкладом от более сложных компонент. Как известно, для достаточно простых конечных состояний  $f$  амплитуды  $(\Gamma_y^{\lambda f} \text{ (s.p.)})^{1/2}$  могут быть рассчитаны в рамках валентной модели <sup>7/</sup> и выражены через приведенную нейтронную ширину и спектроскопический фактор состояния  $f$  ( $d, p$ ) -реакции. Если ограничиться ядрами с  $A \geq 80$ , то вклад валентного механизма в ширину  $\Gamma_y^{\lambda f}$  более вероятен в ядрах вблизи  $A = 90$ , поскольку начальное и конечное состояния этих ядер могут содержать относительно большую примесь  $3p$ - и  $3s$  ( $2d$ ) -компонент соответственно. В области сферических ядер с  $A \sim 80 \div 150$  нестатистические эффекты в радиационном канале распада обнаружены <sup>6/</sup> лишь для сравнительно небольшого числа ядер-мишеней с числом нейtronов  $N = 82$  ( $^{130}\text{Te}$ ,  $^{136}\text{Xe}$ ,  $^{138}\text{Ba}$ ,  $^{142}\text{Ce}$ ,  $^{144}\text{Sm}$ ).

Поскольку число ядер, в которых обнаружены нестатистические эффекты, невелико, а также учитывая тот факт, что усредненные полные ширины определяются в основном  $\gamma$ -переходами на достаточно сложные конечные состояния, в большинстве работ (см., например, <sup>1-5, 8/</sup>) расчеты величин  $\Gamma_y^{\lambda f}$  были проведены с учетом только второго члена в формуле (1). При этом выражение для средней полной радиационной ширины  $\bar{\gamma}$ -нейтронных резонансов в дипольном приближении записывалось в виде

$$\Gamma_y^{\text{tot}} = \frac{1}{2(2I+1)} \sum_{J=|I-1/2|}^{I+1/2} (2J+1) \rho_{J\pi}^{-1}(E) \int_0^E \sum_{J_f} [S_y^{\lambda f}(E1) \rho_{J_f - \pi_f}(E-E_y) + S_y^{\lambda f}(M1) \rho_{J_f \pi_f}(E-E_y)] E_y^3 dE_y. \quad (2)$$

Здесь  $I$  – спин ядра-мишени,  $S_y^{\lambda f}(E1)$  и  $S_y^{\lambda f}(M1)$  – соответствующие радиационные силовые функции,  $\rho_{J\pi}(E)$  – плотность возбужденных состояний компаунд-ядра со спином и четностью  $J\pi$  при энергии возбуждения  $E$ .

Как видно из формулы (2), полная радиационная ширина представляет собой свертку функции  $S_y(E_y)$  и  $\rho_{J\pi}(E)$ . Если какую-либо из них, например  $\rho_{J\pi}(E)$ , фиксировать феноменологически, то сравнение экспериментальных и расчетных (2) значений полных радиационных ширин позволяет тестировать различные модельные фотонные силовые функции. Таким образом, в работе<sup>/8/</sup> проверялась адекватность теоретических фотонных силовых функций<sup>/9,10/</sup>. Энергетическая зависимость плотности возбужденных состояний феноменологически параметризовалась на основе модифицированного<sup>/8/</sup> варианта модели ферми-газа с "обратным смещением"<sup>/11/</sup>. При этом удалось удовлетворительно описать<sup>/8,12/</sup> экспериментальные радиационные ширины и полные  $\gamma$ -спектры для широкого круга сферических ядер в массовой области  $A \sim 80 \div 150$ . Исключение составили ядра, содержащие магическое или близкое к магическому число нуклонов. Для этих ядер наблюдалось существенное (в 2-3 и более раз) превышение расчетных значений  $\gamma$ -ширин по сравнению с экспериментальными.

Как отмечалось в работе<sup>/8/</sup>, это может быть связано с тем, что в рамках модели ферми-газа не удается воспроизвести энергетическую зависимость плотности уровней в ядрах, содержащих замкнутые оболочки. Действительно, имеются указания<sup>/13/</sup> на то, что в околовмагических ядрах поведение плотности уровней в области энергий возбуждения от 2 до 8 МэВ характеризуется скорее постоянной ядерной температурой, тогда как в модели ферми-газа  $T \sim \sqrt{E}$ .

Цель настоящей работы – изучить влияние различных феноменологических параметризаций плотности уровней  $\rho_{J\pi}(E)$  на значения полных радиационных ширин сферических ядер, рассчитанных с фиксированными фотонными силовыми функциями<sup>/9,10/</sup>. Полученные результаты анализируются с точки зрения вопроса о возможности однозначной феноменологической параметризации плотности в области низких и промежуточных энергий возбуждения.

## 2. РАСЧЕТНАЯ СХЕМА

Как и в работах<sup>/8,12/</sup>, в расчетах были использованы дипольная фоновая силовая функция  $S_y(E1)$ , полученная<sup>/10/</sup> для средних и тяжелых сферических ядер:

$$S_y(E1) = 3 \cdot 10^{-6} \frac{NZ}{A} \frac{E_g}{\Gamma_g} \frac{(E_y + 4\pi t(E_f))}{(E_g^2 - E_y^2)^2} \text{ МэВ}^{-3}, \quad (3)$$

где  $t(E_f)$  – ядерная температура, соответствующая конечному состоянию  $f$ ;  $E_g$  и  $\Gamma_g$  – положение и ширина гигантского электрического дипольного резонанса<sup>/2/</sup>. Силовая функция (3) хорошо согласуется с экспериментальной силовой функцией для ядра  $^{144}\text{Nd}$  во всем интервале энергий  $0,2 \text{ МэВ} \leq E_y \leq B_n$ , а также позволяет в целом удовлетворительно воспроизвести<sup>/8/</sup> опытные данные для жестких ( $s \rightarrow s$ )  $\gamma$ -переходов в широкой области массовых чисел  $A \sim 80 \div 200$ .

Для фотонной силовой функции мультипольности  $M1$  была получена оценка<sup>/9/</sup>

$$S_y^{cc'}(M1) = S_y^{cs}(M1) = 2 \cdot 10^{-8} \text{ МэВ}^{-3}, \quad (4)$$

где силовая функция  $S_y^{cc'}$  соответствует радиационным переходам типа компаунд-компаунд ( $s \rightarrow c'$ ). В конкретных расчетах оценка (4) нормировалась<sup>/8,12/</sup> на экспериментальное значение  $M1$ -силовой функции, полученное для ядра  $^{144}\text{Nd}$ :

$$S_y^{cc'}(M1) = S_y^{cs}(M1) = 1 \cdot 10^{-8} \text{ МэВ}^{-3}. \quad (5)$$

Известно<sup>/14/</sup>, что экстраполяция с помощью модели ферми-газа с параметрами, найденными из подгонки плотности нейтронных резонансов, как правило, не описывает плотность уровней в области энергий возбуждения  $E_f \sim 2 \div 3 \text{ МэВ}$ . Более реалистичной для этих энергий возбуждения является модель постоянной температуры<sup>/14,15/</sup>:

$$\rho_{\text{п.т.}}(E) = \sum_J \rho_{\text{п.т.}}(E, J) = \frac{1}{T} \exp[(E - E_0)/T], \quad (6)$$

где величины  $E_0$  и  $T$  являются свободными параметрами, определяемыми в результате подгонки.

Для описания поведения плотности уровней во всем интервале энергий  $1 \text{ МэВ} \leq E \leq B_n$  низкоэнергетическую зависимость (6) обычно "сшивают"<sup>/15/</sup> с ферми-газовой зависимостью

$$\rho_{\text{ф.г.}}(E) = \sum_J \rho_{\text{ф.г.}}(E, J) = \frac{1}{12\sqrt{2} a^{1/4} E^{5/4} \sigma} \exp[2\sqrt{aE}], \quad (7)$$

где  $a$  - параметр плотности;  $\sigma$  - спиновый фактор.

Согласно современным представлениям<sup>/16,17/</sup> о структуре возбужденных состояний существенное влияние на поведение плотности уровней оказывают оболочечные эффекты в спектре одночастичных возбуждений, а также когерентные эффекты коллективной природы. Учет оболочечных неоднородностей спектра осуществляется на основе метода оболочечной поправки<sup>/18/</sup>, что позволяет построить<sup>/17/</sup> феноменологическую систематику параметра плотности уровней:

$$a(E, Z, A) = \tilde{a}(A) [1 + \delta \xi_0(Z, A) \frac{f(E)}{E}]. \quad (8)$$

Здесь  $\delta \xi_0$  - оболочечная поправка;  $f(E) = 1 - \exp(-\gamma E)$ ;  $\gamma = 0,057$ .

В общем случае выражение для плотности уровней можно представить в виде<sup>/17/</sup>:

$$\rho(E, J) = \rho_{\text{вн.}}(E, J) \cdot K_{\text{вibr.}}(E) K_{\text{rot.}}(E), \quad (9)$$

где  $\rho_{\text{вн.}}$  - плотность внутренних (неколлективных) возбуждений;  $K_{\text{вibr.}}, K_{\text{rot.}}$  - коэффициенты увеличения плотности уровней за счет вибрационных и ротационных мод возбуждений.

Заметим, что последовательное описание этих эффектов может быть получено лишь на основе микроскопических методов<sup>/16,17/</sup>, что существенно затрудняет возможности их практического применения. Поскольку мы изучаем возможность описания интегральных характеристик радиационного канала распада, то для целей нашего анализа достаточно ограничиться приближением, при котором в качестве  $\rho_{\text{вн.}}(E)$  используется выражение (7) с параметризацией (8). В области энергий возбуждения  $E \leq B_n$  выражение для коэффициента вибрационного усиления также можно представить в несколько упрощенном виде<sup>/19/</sup>:

$$K_{\text{вibr.}} \approx \exp(0,25E^{2/3}). \quad (10)$$

Кроме того, поскольку мы рассматриваем только сферические ядра, то  $K_{\text{rot.}} = 1$ .

Связь между параметрами моделей (6) и (9) находилась<sup>/15/</sup> из условия непрерывности функций плотности и первых производных в точке "сшивания"  $E_x$ :

$$\rho_{\text{п.т.}}(E_x) = \rho(E_x), \quad \frac{d \ln \rho_{\text{п.т.}}(E)}{dE} \Big|_{d=E_x} = \frac{d \ln \rho(E)}{dE} \Big|_{d=E_x}. \quad (11)$$

Таблица

Ком- паунд- ядро	Ферми-газ + пост.температура						Учет оболочечной поправки						$\bar{\Gamma}_{\text{tot}}$		
	вариант 1			вариант 2 ( $K_{\text{вibr.}} = 1$ )			вариант 3 ( $K_{\text{вibr.}} \neq 1$ )			$\bar{\Gamma}_{\text{tot}}$			$\bar{\Gamma}_{\text{tot}}$		
	$T$ , МэВ	$a$ , МэВ <sup>-1</sup>	$E_x$ , МэВ	$\bar{T}$ , МэВ	$\bar{a}$ , МэВ <sup>-1</sup>	$E_x$ , МэВ	$\bar{T}$ , МэВ	$\bar{a}$ , МэВ <sup>-1</sup>	$E_x$ , МэВ	$\bar{T}$ , МэВ	$\bar{a}$ , МэВ <sup>-1</sup>	$E_x$ , МэВ	$\bar{\Gamma}_{\text{tot}}$ , МэВ	$\bar{\Gamma}_{\text{tot}}$ , МэВ	$\bar{\Gamma}_{\text{tot}}$ , эксп., МэВ
138 Ba	0,70	13,7	7,5	215	0,70	17,6	7,3	204	0,75	15,4	6,6	171	259	80	
136 Ba	0,66	16,5	7,6	127	0,65	19,7	7,5	118	0,65	17,5	6,7	108	192	135	
120 Sn	0,62	17,3	7,4	89	0,62	17,5	7,4	87	0,62	15,3	6,6	84	130	87	
118 Sn	0,50	16,8	5,3	78	0,50	16,8	5,3	78	0,51	14,9	4,6	79	130	80	
92 Zr	0,78	11,4	6,5	213	0,80	12,9	6,5	205	0,80	11,2	5,6	185	332	140	
144 Nd	0,52	18,4	5,4	49	0,54	20,0	5,6	51	0,53	17,9	4,9	46	93	86	
114 Cd	0,58	19,8	7,7	69	0,58	19,9	7,7	68	0,59	17,8	6,9	64	143	160	
106 Pd	0,60	17,2	6,8	75	0,59	16,5	6,7	76	0,61	14,7	6,1	77	149	150	
100 Ru	0,71	15,7	8,4	126	0,70	15,3	8,2	123	0,71	13,8	7,5	113	232	195	
98 Mo	0,69	15,3	7,8	124	0,68	15,1	7,5	120	0,68	13,9	6,9	111	200	160	
124 Sb	0,58	15,8	3,4	108	0,59	16,7	3,4	105	0,58	15,1	2,9	93	140	100	
122 Sb	0,59	16,8	3,8	99	0,59	18,1	3,9	94	0,66	16,5	3,5	88	127	100	
116 Jn	0,54	17,3	3,2	60	0,52	17,5	3,2	60	0,53	15,9	2,6	55	81	77	

Первое из уравнений (11) позволяет установить соответствие между кумулятивным числом уровней в низкоэнергетической области ( $E \sim 1 \div 2$  МэВ) и значением плотности при энергии "сшивания"  $E_x$ . Второе из уравнений (11) отражает факт равенства при энергии  $E = E_x$ , зависящей от энергии возбуждения ядерной температуры  $t(E)$  и постоянной ядерной температуры  $T$ .

Подгонка плотности уровней осуществлялась независимо для каждой четности, причем принималось, что в области энергии связи нейтрона  $\rho(E, J^{\pi}) = \rho(E, J^{-\pi})$ . Параметр плотности  $a$  находился из подгонки к экспериментальной плотности нейтронных резонансов при энергии возбуждения  $E = B_n$ .

### 3. ОБСУЖДЕНИЕ РЕЗУЛЬТАТОВ

Результаты расчетов полных радиационных ширин для ряда четно-четных околомагических ядер суммированы в верхних строках таблицы, в которой приведены величины  $\Gamma_y^{\text{tot}}$ , а также значения подгоночных параметров, полученных для различных вариантов плотности.

Как видно из таблицы, в варианте 1 для большинства указанных ядер наблюдается заметное (в пределах 40–50%) уменьшение значений полных  $\gamma$ -ширин по сравнению с расчетами<sup>8/</sup>. В результате для некоторых из них удается согласовать расчетные и экспериментальные значения полных радиационных ширин, в то время как для нуклидов  $^{92}\text{Zr}$  и  $^{188}\text{Ba}$  расхождение между величинами  $\Gamma_y^{\text{tot}}$  и  $\Gamma_y^{\text{эксп.}}$  сохраняется на уровне фактора 2.

Таким образом, несмотря на определенное улучшение по сравнению с работой<sup>8/</sup> описания экспериментальных  $\gamma$ -ширин в рамках данного подхода не удается воспроизвести указанные величины для всего круга исследованных околомагических ядер.

Влияние нестатистических эффектов на вероятности радиационного распада особенно наглядно прослеживается на примере ядра  $^{188}\text{Ba}_{82}$ , содержащего магическое число нейронов  $N = 82$ . Поскольку теоретические фотонные силовые функции для изотопов  $^{136}\text{Ba}_{80}$  и  $^{188}\text{Ba}_{82}$  близки, то наблюдаемое различие в величи-

нах  $\Gamma_y^{\text{tot}}$  целиком связано с изменением характера энергетической зависимости плотности в ядре  $^{188}\text{Ba}_{82}$  по сравнению с ядром  $^{136}\text{Ba}_{80}$ . Как показывают вычисления, расчетные значения  $\gamma$ -ширин для ядра  $^{188}\text{Ba}$  заметно превышают аналогичные величины для ядра  $^{136}\text{Ba}$ , что заведомо противоречит имеющимся опытным данным. Этот результат свидетельствует о том, что фотонные силовые функции (3) и (5), по-видимому, не являются адекватными для полумагического ядра  $^{188}\text{Ba}_{80}$ . На нестатистический характер картины радиационного распада ядра  $^{188}\text{Ba}$  указывает

также то обстоятельство, что первый уровень отрицательной четности в спектре возбуждения этого нуклида обнаружен лишь при энергии  $E_1 \approx 2,9$  МэВ.

В последующих колонках таблицы приведены значения  $\gamma$ -ширин, рассчитанных в модели, учитывающей влияние на плотность уровней оболочечных эффектов (вариант 2) и дополнительно вибрационного усиления (вариант 3).

Как видно из таблицы, учет оболочечной поправки не оказывает существенного влияния на величины  $\Gamma_y^{\text{tot}}$ , тогда как включение вибрационного усиления приводит к некоторому уменьшению абсолютных радиационных ширин, а также значений параметров  $\alpha$  и  $E_x$ . Заметим, что значения энергии  $E_x$ , ниже которой поведение плотности уровней аппроксимируется моделью постоянной температуры (6), достаточно велики и в целом согласуются (для варианта 1) с результатами работы<sup>15/</sup>.

В качестве дополнительной проверки возможностей использованного выше подхода для описания характеристик канала радиационного распада компаунд-состояний околомагических ядер в данной работе был проведен расчет  $\gamma$ -спектров радиационного захвата тепловых нейтронов естественной смесью изотопов олова. Результаты расчета (пунктир) приведены на рис.1, на котором сплошной линией изображена соответствующая экспериментальная оценка<sup>20/</sup>. Как видно из рис.1, расчет в целом удовлетворительно воспроизводит жесткую часть спектра и приводит к заниженным интенсивностям в области малых и средних энергий  $\gamma$ -квантов. Этот результат показывает, что, хотя в случае ядер  $^{118}\text{Sn}$  и  $^{120}\text{Sn}$  и удается согласовать расчетные и экспериментальные полные радиационные ширины, проблема корректного описания  $\gamma$ -распада высоковозбужденных состояний околомагических ядер остается актуальной.

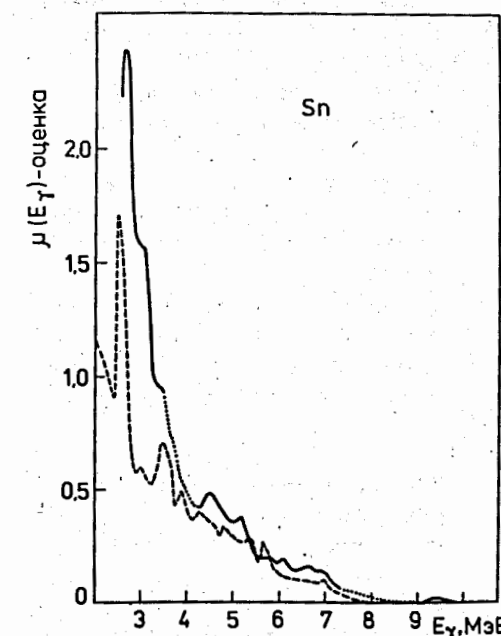


Рис.1. Экспериментальный /сплошная кривая/ и расчетный /пунктир/ полный спектр  $\gamma$ -лучей теплового захвата нейтронов изотопами олова.

В отличие от традиционных методов расчета полных радиационных ширин<sup>1-5/</sup>, обычно применяемых для феноменологической параметризации фотонных силовых функций, рассматриваемый подход (см. также<sup>8/</sup>) обладает особой чувствительностью к выбору модели для описания энергетической зависимости плотности уровней, поскольку в нем используются фиксированные силовые функции. Поэтому представляется целесообразным провести вычисление величин  $\Gamma_y^{\text{tot}}$  для более широкого круга ядер, а затем сопоставить полученные результаты с расчетами<sup>8/</sup>.

Результаты таких вычислений для ряда четно-четных и нечетно-нечетных ядер приведены в таблице. Как видно из таблицы, для четно-четных ядер характер изменения значений  $\Gamma_y^{\text{tot}}$  при переходе от расчетов<sup>8/</sup> к вариантам 1-3 аналогичен рассмотренному выше случаю окломагических ядер.

Таким образом, расчеты<sup>8/</sup> на основе модели ферми-газа с "обратным смещением"<sup>11/</sup> и расчеты в рамках модели<sup>15/</sup>, учитывающей связь двух рассматриваемых подходов (вариант 1), приводят к систематическому различию (до фактора 2) в величинах  $\Gamma_y^{\text{tot}}$ , что свидетельствует о значительной неоднозначности феноменологической параметризации плотности в области энергий возбуждения  $E \leq B_n$ . Для иллюстрации этого факта на рис.2 приведены расчетные значения кумулятивного числа уровней в ядре  $^{106}\text{Pd}$  в зависимости от энергии возбуждения, причем пунктирная кривая соответствует расчету по "гибридной" модели<sup>16/</sup>, а сплошная - расчету по модели ферми-газа<sup>11/</sup>. Как видно из рис.2, в интервале энергий  $E_f = 2-3$  МэВ обе подгоночные кривые достаточно близки и в целом удовлетворительно согласуются с опытными данными (гистограмма), однако с ростом энергии расхождение между ними становится все

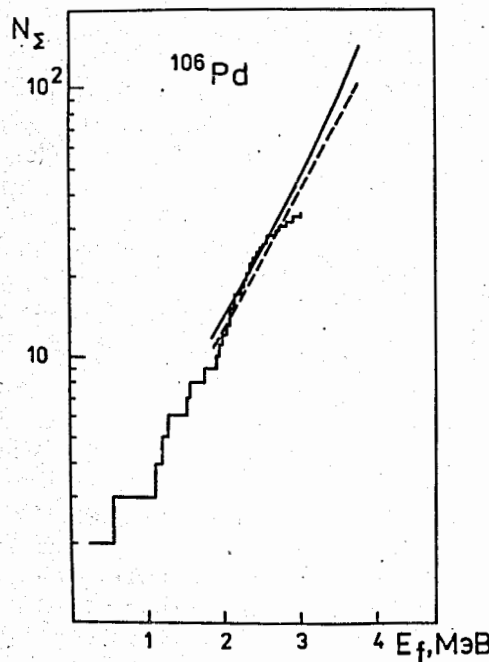


Рис.2. Энергетическая зависимость полного числа уровней внизу в ядре  $^{106}\text{Pd}$ . Сплошная кривая соответствует двум разным моделям подгонки плотности.

более заметным. К сожалению, большая неопределенность в энергетическом поведении плотности уровней в области промежуточных энергий не позволяет однозначно выбрать физически адекватную модель для  $\rho_{J\pi}(E)$ . Это прежде всего связано с тем обстоятельством, что в спектрах возбуждения четно-четных ядер наблюдаются значительные оболочечные неоднородности, существенно влияющие на погрешность процедуры подгонки плотности.

Вместе с тем влияние различных способов параметризации плотности на абсолютные значения полных радиационных ширин можно последовательно изучить на примере ядра  $^{144}\text{Nd}$ , для которого теоретические фотонные силовые функции согласуются с экспериментальными во всем существенном интервале энергий возбуждения<sup>8/</sup>. Сопоставление приведенных в таблице расчетных значений  $\Gamma_y^{\text{tot}}$  с опытными данными позволяет сделать вывод о том, что для ядра  $^{144}\text{Nd}$ , по-видимому, наиболее приемлемым вариантом параметризации плотности является модель ферми-газа с "обратным смещением"<sup>11/</sup>. Кроме того, наблюдаемый по совокупности немагических ядер уровень согласия между величинами  $\Gamma_y^{\text{tot}}$  и  $\Gamma_y^{\text{эксп}}$  также свидетельствует в пользу модели<sup>11/</sup>.

Как видно из таблицы, для нечетно-нечетных ядер различие между величинами  $\Gamma_y^{\text{tot}}$ , рассчитанными в варианте 1 и в рамках подхода<sup>8/</sup>, не превосходит 30%. Этот результат объясняется тем обстоятельством, что для нечетно-нечетных ядер значение энергии "сшивания"  $E_x$  систематически меньше, чем в случае четно-четных ядер, и поэтому в меньшей степени влияет на величину и положение максимума первичного спектра  $\gamma$ -лучей, формируемого подынтегральным выражением в формуле (2).

Таким образом, проведенный выше анализ свидетельствует о том, что для большинства исследованных ядер, за исключением магических и окломагических, поведение плотности уровней в области энергий возбуждения на 2-3 МэВ ниже  $B_n$  аппроксимируется скорее моделью ферми-газа<sup>11/</sup>, чем моделью постоянной температуры<sup>15/</sup>. Для окломагических ядер, по-видимому, более адекватной представляется модель<sup>15/</sup>.

В заключение отметим, что в данной работе значения средних радиационных ширин получены с учетом только статистических свойств ядер. Представляется, что включение в схему расчета других возможных механизмов, определяемых, например, вкладом первого слагаемого в формуле (1), может привести к дополнительному увеличению расчетных значений полных  $\gamma$ -ширин.

#### ЛИТЕРАТУРА

- Блатт Дж., Вайскопф В. - Теоретическая ядерная физика. М.: МЛ, 1956.

2. Axel P. - Phys.Rev., 1962, v.126, p.271.
3. Johnson C.H. - Phys.Rev., 1977, C16, p.2238.
4. Малэцки Х. и др. - ЯФ, 1983, т.37, с.284.
5. Бычков В.М. и др. - В сб.: Ядерные константы, вып.3. М.: ЦНИИатоминформ, 1987.
6. Mughabghab S.F. - In: III International School of Neutron Physics. JINR, D3-11787, 1978, p.328.
7. Lynn J.E. - The Theory of Neutron Resonance Reactions. C.P., Oxford, England, 1968, p.290.
8. Кадменский С.Г. и др. - ОИЯИ, Р4-83-600, Дубна, 1983.
9. Кадменский С.Г. и др. - ЯФ, 1980, т.31, с.382.
10. Кадменский С.Г. и др. - ЯФ, 1983, т.37, с.277.
11. Dilg N. et al. - Nucl.Phys., 1973, A217, p.269.
12. Помаченков И.А., Фурман В.И. - ОИЯИ, Р4-85-466, Дубна, 1985.
13. Игнатюк А.В. и др. - In: Nucl.Data for Reactors, IAEA, Vienna, 1970, v.2, p.885.
14. Gilbert A., Cameron A. - Canad.J.Phys., 1965, v.43, p.1446.
15. Reffo G. - In: Nuclear Theory for Applications. IAEA-SMR-43, Trieste, 1980, p.205.
16. Вдовин А.И. - ЭЧАЯ, 1976, т.7, вып.4, с.952.
17. Игнатюк А.В. - Статистические свойства возбужденных атомных ядер. М.: Энергоатомиздат, 1983.
18. Струтинский В.М. - ЯФ, 1966, т.3, с.614.
19. Игнатюк А.В. и др. - В кн: Нейтронная физика. М.: ЦНИИатоминформ, 1977, ч.1, с.60.
20. Грошев Л.В. и др. - Атлас спектров  $\gamma$ -лучей радиационного захвата тепловых нейтронов. М.: Атомиздат, 1958.

Рукопись поступила в издательский отдел  
1 ноября 1990 года.